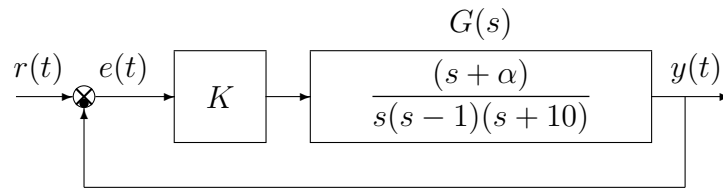


# Controlli Automatici B

## 27 Giugno 2014 - Esercizi

Nome:	
Nr. Mat.	
Firma:	

a) Sia dato il seguente sistema retroazionato:



a.1) Posto  $\alpha = 1$ , tracciare qualitativamente il luogo delle radici del sistema retroazionato al variare del parametro  $K > 0$ . Determinare esattamente la posizione degli asintoti, le intersezioni  $\omega^*$  con l'asse immaginario e i corrispondenti valori del guadagno  $K^*$ . Determinare la posizione di eventuali punti di diramazione "solo in modo qualitativo". Determinare inoltre per quale valore  $\bar{K}$  si ha il minimo tempo di assestamento della risposta al gradino del sistema retroazionato.

*Sol.* Posto  $\alpha = 1$ , l'equazione caratteristica del sistema retroazionato è:

$$1 + K_1 G_1(s) = 0 \quad \Leftrightarrow \quad 1 + K \frac{(s+1)}{s(s-1)(s+10)} = 0$$

dove  $K_1 = K$ . L'andamento qualitativo del luogo delle radici del sistema  $G_1(s)$  per  $K = K_1 > 0$  è mostrato in Fig. 1. Il luogo delle radici ha due asintoti verticali. Il centro degli

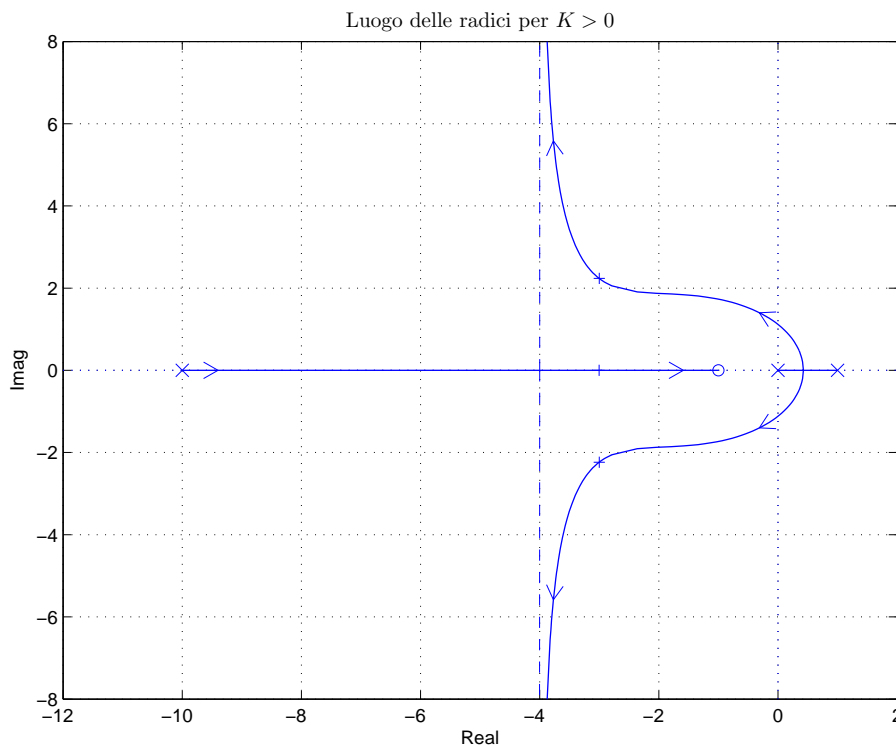


Figura 1: Luogo delle radici del sistema  $G_1(s)$  per  $K = K_1 > 0$

asintoti è:

$$\sigma_a = \frac{1}{2}(-10 + 1 + 1) = -4.$$

L'intersezione con l'asse immaginario si calcola applicando il criterio di Routh alla seguente equazione caratteristica:

$$1 + K \frac{(s+1)}{s(s-1)(s+10)} = 0 \quad \rightarrow \quad s^3 + 9s^2 + (K-10)s + K = 0$$

La corrispondente tabella di Routh è la seguente

$$\begin{array}{c|cc} 3 & 1 & K - 10 \\ 2 & 9 & K \\ 1 & 9(K - 10) - K & \\ 0 & K & \end{array}$$

Il sistema retroazionato è stabile se

$$8K - 90 > 0, \quad K > 0.$$

Il sistema retroazionato è stabile se

$$K > \frac{45}{8} = 11.25 = K^*$$

L'intersezione con l'asse immaginario si ha in corrispondenza della pulsazione:

$$\omega^* = \sqrt{\frac{K^*}{9}} = 1.118.$$

I poli del sistema retroazionato sono alla massima distanza dall'asse immaginario quando i poli sono allineati. Il sistema è di ordine  $n = 3$  e ha grado relativo  $r = 2$  per cui l'ascissa  $\sigma_0$  della condizione di allineamento dei poli può essere calcolata utilizzando il teorema del baricentro:

$$3\sigma_0 = \sum_{i=1}^3 p_i = -9 \quad \rightarrow \quad \sigma_0 = -\frac{9}{3} = -3$$

Il valore  $\bar{K}$  del parametro  $K$  per cui si ha l'allineamento dei poli si calcola nel seguente modo:

$$\bar{K} = - \frac{1}{G_1(s)} \Big|_{s=\sigma_0} = 42$$

Nota: quando, al variare di  $K$ , i due poli complessi coniugati del sistema retroazionato si trovano sull'asse immaginario, il terzo polo si trova in  $p_3 = -9$ . Questo risultato si ottiene applicando il teorema del baricentro. Un modo alternativo di calcolare il valore limite di stabilità  $K^*$  è il seguente:

$$K^* = - \frac{1}{G_1(s)} \Big|_{s=-9} = 11.25$$

- a2) Posto  $K = 18$ , tracciare qualitativamente il contorno delle radici del sistema retroazionato al variare del parametro  $\alpha > 0$ . Determinare esattamente la posizione e il centro degli asintoti. Determinare la posizione di eventuali punti di diramazione "solo in modo qualitativo".

*Sol.* L'equazione caratteristica del sistema retroazionato è la seguente

$$1 + \frac{18(s + \alpha)}{s(s - 1)(s + 10)} = 0 \quad \rightarrow \quad s(s - 1)(s + 10) + 18(s + \alpha) = 0$$

da cui si ricava la seguente equazione  $1 + \alpha G_1(s) = 0$ :

$$s^3 + 9s^2 + 8s + 18\alpha = 0 \quad \rightarrow \quad 1 + \frac{18\alpha}{s(s + 1)(s + 8)} = 0$$

Il contorno delle radici al variare del parametro  $\alpha > 0$  è mostrato in Fig. 2.

Nel contorno delle radici sono presenti 3 asintoti. Il centro degli asintoti è:

$$\sigma_a = \frac{1}{3}(-1 - 8) = -3$$

I valori di  $\alpha^*$  e di  $\omega^*$  per cui si ha l'attraversamento dell'asse immaginario sono:

$$\alpha^* = \frac{1 \cdot 8 \cdot (1 + 8)}{18} = 4, \quad \omega^* = \sqrt{8} = 2.83.$$

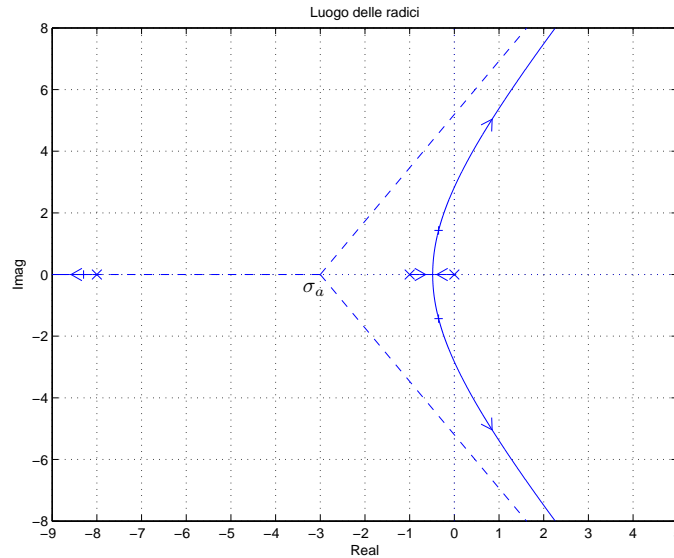


Figura 2: Contorno delle radici del sistema  $G_1(s)$  al variare del parametro  $\alpha > 0$ .

a.3) Sia data la seguente funzione di trasferimento che descrive la dinamica di un sistema meccanico caratterizzato dalla massa  $m$ :

$$G(s) = \frac{1}{ms^4 + (m+1)s^3 + (m+3)s^2 + 3s + 1}$$

Utilizzando la metodologia del contorno delle radici mostrare come si spostano sul piano complesso i poli della funzione  $G(s)$  al variare del parametro  $m > 0$ . Determinare la posizione di eventuali punti di diramazione “solo in modo qualitativo”.

*Sol.* I poli della funzione  $G(s)$  sono le soluzioni della seguente equazione:

$$ms^4 + (m+1)s^3 + (m+3)s^2 + 3s + 1 = 0$$

che può essere riscritta nel seguente modo  $1 + mG_1(s) = 0$ :

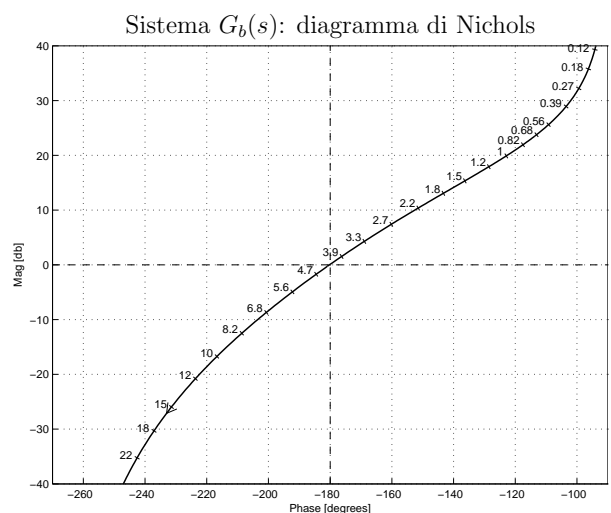
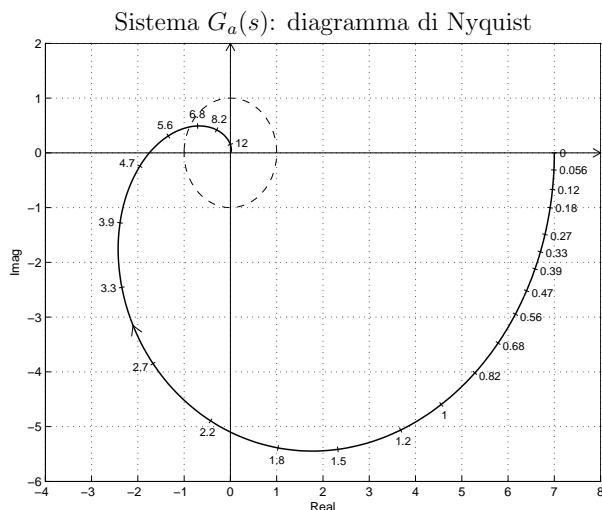
$$s^3 + 3s^2 + 3s + 1 + ms^2(s^2 + s + 1) = 0 \quad \rightarrow \quad 1 + m \frac{s^2(s^2 + s + 1)}{s^3 + 3s^2 + 3s + 1} = 0$$

Mettendo in evidenza i poli e gli zeri della funzione  $G_1(s)$  si ottiene:

$$1 + \frac{ms^2[(s+0.5)^2 + 0.866^2]}{(s+1)^3} = 0$$

Il contorno delle radici al variare del parametro  $m > 0$  è mostrato in Fig. 3. Nel contorno delle radici è presente un solo asintoto coincidente con il semiasse reale negativo, percorso dall'infinito a finito.

b) Siano date le seguenti due funzioni di risposta armonica dei sistemi  $G_a(s)$  e  $G_b(s)$ :



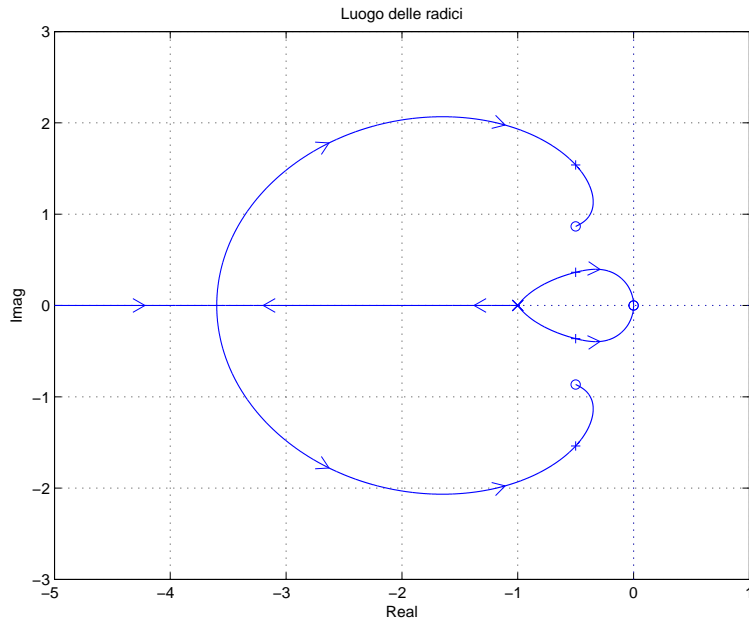


Figura 3: Luogo delle radici del sistema  $G_1(s)$  al variare del parametro  $m > 0$ .

b.1) Per il sistema  $G_a(s)$ , progettare una rete correttiva in grado di garantire al sistema compensato un margine di fase  $M_\varphi = 60^\circ$ . Scegliere il valore della pulsazione  $\omega$  che si ritiene più opportuno;

*Sol.* La specifica sul margine di fase  $M_\varphi = 60^\circ$  definisce completamente la posizione del punto  $B = M_B e^{j\varphi_B}$ :  $M_B = 1$  e  $\varphi_B = 240^\circ$ . La regione ammissibile è mostrata in grigio in Fig. 4.

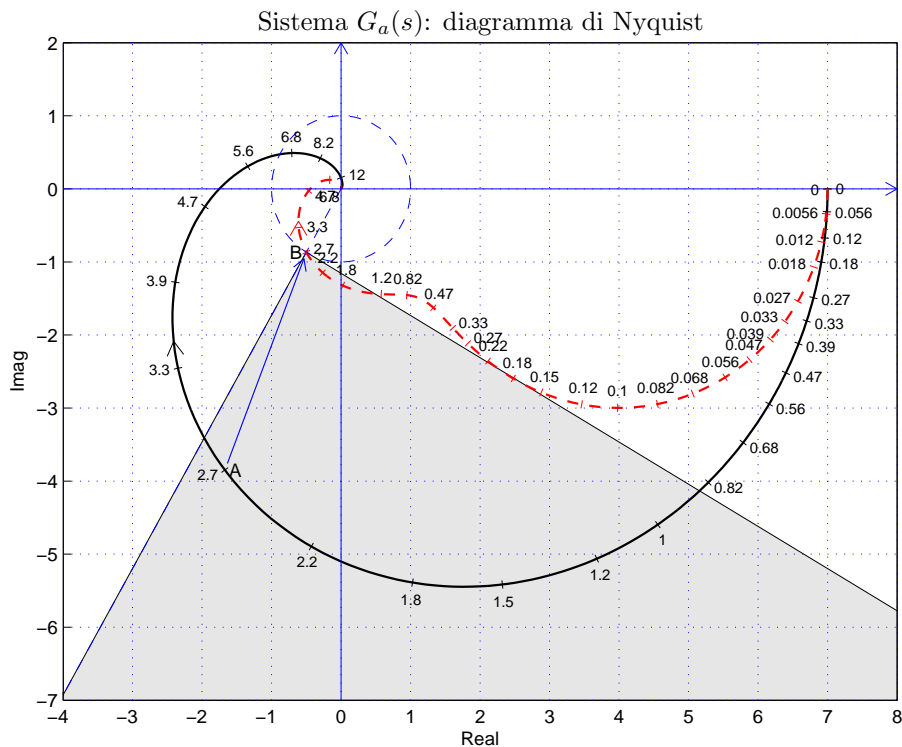


Figura 4: Diagrammi di Nyquist delle funzioni  $G_a(s)$  e  $C_1(s)G_a(s)$ .

Il punto  $A = G_b(j\omega_A)$  scelto per la sintesi della rete correttiva è quello corrispondente alla pulsazione  $\omega_A = 2.7$ :

$$M_A = |G(j\omega_A)| = 4.196, \quad \varphi_A = \arg[G(j\omega_A)] = 246.5^\circ.$$

Sostituendo i valori di  $M$ ,  $\varphi$  e  $\omega = \omega_A$  all'interno delle formule di inversione si ottengono i

valori dei parametri  $\tau_1 = 2.462$  e  $\tau_2 = 10.44$  della rete correttiva  $C(s)$ :

$$M = \frac{M_B}{M_A} = 0.2383, \quad \varphi = \varphi_B - \varphi_A = -6.523^\circ \quad \rightarrow \quad C_1(s) = \frac{(1 + 2.462 s)}{(1 + 10.44 s)}.$$

Il diagramma di Nichols delle funzioni  $G_a(s)$  e  $C_1(s)G_a(s)$  sono mostrati in Fig. 4. Sintesi della rete correttiva  $C_1(s)$  con altri valori della pulsazione  $\omega_A$ :

$$\begin{aligned} \omega_A &= [ 2.7 & 2.2 & 1.9 & 1.5 ] \\ M_A &= [ 4.196 & 4.913 & 5.345 & 5.892 ] \\ \varphi_A &= [ -113.5 & -95 & -83.23 & -66.8 ] \\ M &= [ 0.2383 & 0.2035 & 0.1871 & 0.1697 ] \\ \varphi &= [ -6.524 & -25 & -36.77 & -53.2 ] \\ \tau_1 &= [ 2.462 & 0.7558 & 0.5397 & 0.3574 ] \\ \tau_2 &= [ 10.44 & 4.309 & 3.995 & 4.406 ] \end{aligned}$$

- b.2) Per il sistema  $G_b(s)$ , progettare una rete ritardatrice in modo da garantire che il sistema compensato passi per il punto  $B = (-140^\circ, -10 \text{ db})$ . Scegliere il valore della pulsazione  $\omega$  che si ritiene più opportuno.

*Sol.* La posizione del punto  $B$  è completamente determinata dalla specifica di progetto  $B = M_B e^{j\varphi_B}$ :  $M_B = -10 \text{ db} = 0.3162$  e  $\varphi_B = -140^\circ$ . La regione di ammissibilità è mostrata in grigio in Fig. 5. Il punto  $A = G_a(j\omega_A)$  scelto per il progetto è quello corrispondente alla

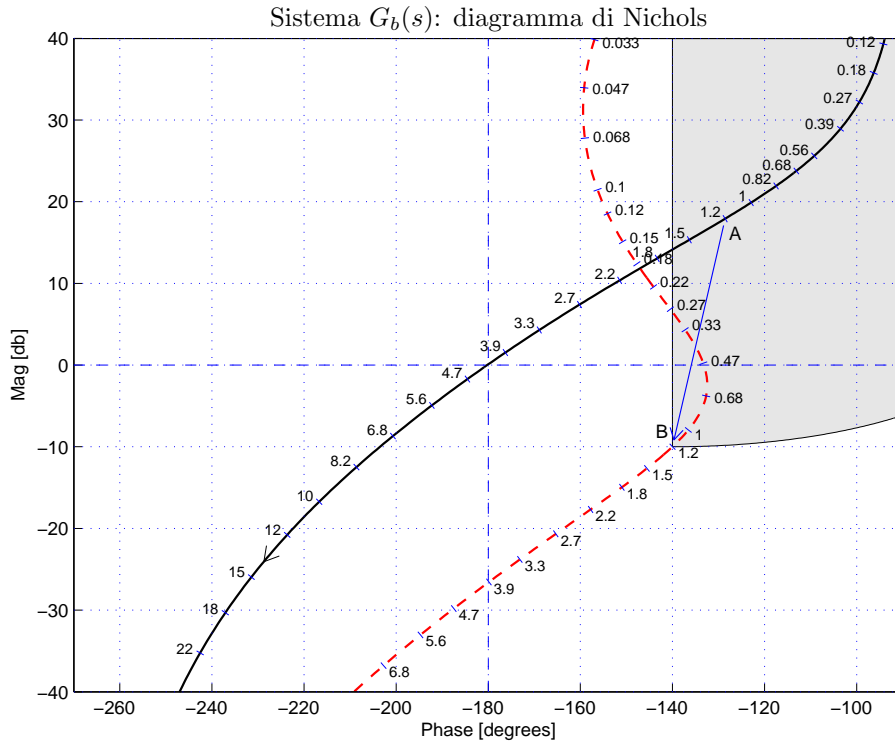


Figura 5: Diagrammi di Nichols delle funzioni  $G_a(s)$  e  $C_2(s)G_a(s)$ .

pulsazione  $\omega_A = 1.2$ :

$$M_A = |G(j\omega_A)| = 7.87, \quad \varphi_A = \arg[G(j\omega_A)] = -128.55^\circ.$$

Sostituendo i valori di  $M$ ,  $\varphi$  e  $\omega$  all'interno delle formule di inversione si ottengono i valori dei parametri  $\tau_1 = 3.949$  e  $\tau_2 = 100.4$  della rete correttiva  $C_1(s)$ :

$$M = \frac{M_B}{M_A} = 0.04017, \quad \varphi = \varphi_B - \varphi_A = -11.44^\circ \quad \rightarrow \quad C_2(s) = \frac{(1 + 3.949 s)}{(1 + 100.4 s)}.$$

Il diagramma di Nyquist delle funzioni  $G_b(s)$  e  $C_2(s)G_b(s)$  sono mostrati in Fig. 5.

Sintesi della rete corretttrice  $C_2(s)$  con altri valori della pulsazione  $\omega_A$ :

$$\begin{aligned}\omega_A &= [1.5 \quad 1.2 \quad 1 \quad 0.82] \\ M_A &= [5.845 \quad 7.87 \quad 9.877 \quad 12.49] \\ \varphi_A &= [-136.3 \quad -128.6 \quad -122.9 \quad -117.5] \\ M &= [0.0540 \quad 0.0401 \quad 0.0320 \quad 0.0253] \\ \varphi &= [-3.668 \quad -11.44 \quad -17.09 \quad -22.5] \\ \tau_1 &= [9.836 \quad 3.949 \quad 3.143 \quad 2.863] \\ \tau_2 &= [182.3 \quad 100.4 \quad 103 \quad 122.9]\end{aligned}$$

- b.3) Sempre per il sistema  $G_b(s)$ , progettare una rete anticipatrice in grado di garantire al sistema compensato un margine di ampiezza  $M_\alpha = 5$ . Scegliere il valore della pulsazione  $\omega$  che si ritiene più opportuno.

*Soluzione.* La specifica sul margine di ampiezza  $M_\alpha = 5^\circ$  definisce completamente la posizione del punto  $B = M_B e^{j\varphi_B}$ :  $M_B = 0.2 = -14$  db e  $\varphi_B = -180^\circ$ . La regione ammissibile è mostrata in grigio in Fig. 6.

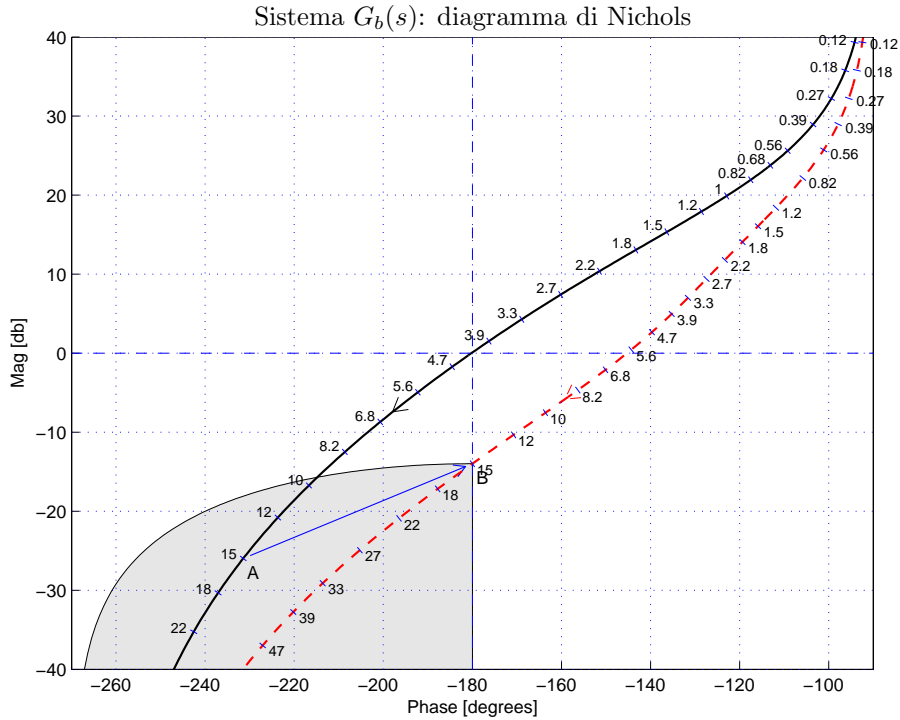


Figura 6: Diagrammi di Nyquist delle funzioni  $G_b(s)$  e  $C_3(s)G_b(s)$ .

Il punto  $A = G(j\omega_A)$  che deve essere portato in  $B$  è quello assegnato corrispondente alla pulsazione  $\omega_A = 15$ :

$$M_A = |G(j\omega_A)|_0 - 25.95 \text{ db} = 0.0504, \quad \varphi_A = \arg[G(j\omega_A)] = -231.4^\circ.$$

I valori di  $M$  e  $\varphi$  da usare nelle formule di inversione sono i seguenti:

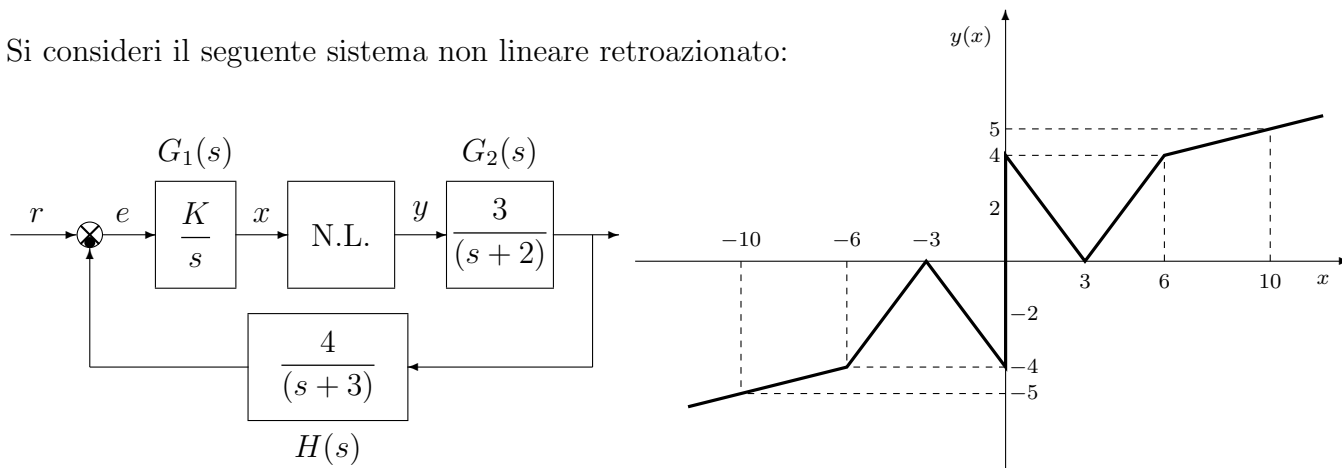
$$M = \frac{M_B}{M_{A'}} = 3.971, \quad \varphi = \varphi_B - \varphi_{A'} = 51.4^\circ \quad \rightarrow \quad C_3(s) = \frac{(1 + 0.2854s)}{(1 + 0.03167s)}.$$

I diagrammi di Nichols delle funzioni  $G_b(s)$  e  $C_3(s)G_b(s)$  sono mostrati in Fig. 6.

Sintesi della rete corretttrice  $C_3(s)$  con altri valori della pulsazione  $\omega_A$ :

$$\begin{aligned}\omega_A &= [10 \quad 12 \quad 15 \quad 18 \quad 22] \\ M_A &= [0.1458 \quad 0.0913 \quad 0.0503 \quad 0.0304 \quad 0.0173] \\ \varphi_A &= [143.3 \quad 136.3 \quad 128.6 \quad 122.9 \quad 117.4] \\ M &= [1.372 \quad 2.19 \quad 3.971 \quad 6.56 \quad 11.55] \\ \varphi &= [36.7 \quad 43.7 \quad 51.4 \quad 57.1 \quad 62.6] \\ \tau_1 &= [0.0954 \quad 0.177 \quad 0.2854 \quad 0.3982 \quad 0.5681] \\ \tau_2 &= [0.0122 \quad 0.0321 \quad 0.0316 \quad 0.0258 \quad 0.0191]\end{aligned}$$

c) Si consideri il seguente sistema non lineare retroazionato:



c.1) Posto  $K = 1$ , calcolare i punti di lavoro  $(x_i, y_i)$  corrispondenti ai valori  $r_1 = 4$  ed  $r_2 = 8$  dell'ingresso  $r$ .

*Sol.* I guadagni statici delle funzioni  $G_1(s)$ ,  $G_2(s)$  e  $H(s)$ , rispettivamente, sono:

$$K_1 = \infty, \quad K_2 = \frac{3}{2}, \quad K_3 = \frac{4}{3}.$$

La retta di carico della parte lineare del sistema è una retta orizzontale di ordinata:

$$y = \frac{r}{K_2 K_3} = \frac{r}{2}.$$

Quando  $r = r_1 = 4$  la retta di carico è  $y = 2$  e il sistema presenta tre punti di lavoro:

$$(x_1, y_1) = (0, 2), \quad (x_2, y_2) = (1.5, 2), \quad (x_3, y_3) = (4.5, 2).$$

Quando  $r = r_2 = 8$  la retta di carico è  $y = 4$ . In questo caso il punto di lavoro è:

$$(x_1, y_1) = (6, 4).$$

c.2) Posto  $K = 1$ , utilizzare il criterio del cerchio per verificare se il sistema retroazionato è stabile nell'intorno del punto  $(x_0, y_0) = (10, 5)$ .

*Sol.* Le pendenze  $\alpha$  e  $\beta$  di 2 rette che centrate nel punto  $(x_1, y_1) = (10, 5)$  racchiudono a settore tutta la non linearità sono le seguenti:

$$\alpha = \frac{1}{10} = 0.1, \quad \beta = \frac{9}{10} = 0.9.$$

Il cerchio critico interseca il semiasse reale negativo nei punti:

$$-\frac{1}{\alpha} = -10, \quad -\frac{1}{\beta} = -1.111.$$

Il margine di ampiezza  $K^*$  e la pulsazione  $\omega^*$  della funzione  $G(s) = G_1(s) G_2(s) H(s)$  si determinano utilizzando il criterio di Routh:

$$G(s) = \frac{12}{s(s+2)(s+3)} \quad \rightarrow \quad K^* = \frac{2 \cdot 3 \cdot (2+3)}{12} = 2.5, \quad \omega^* = \sqrt{6} = 2.45.$$

Il valore di  $K^*$  è maggiore di  $\beta$ :

$$K^* = 2.5 > \beta = 0.9$$

e il diagramma di Nyquist della funzione  $G(s)$  non interseca il cerchio critico. Quindi, in base al criterio del cerchio, si può affermare che il sistema retroazionato è asintoticamente stabile nell'intorno del punto di lavoro. In Fig. 7 è mostrato il diagramma di Nyquist della funzione  $G(s)$  sovrapposto al cerchio critico.

c.3) Disegnare in modo qualitativo l'andamento della funzione descrittiva  $F(X)$  della non linearità  $y(x)$  nell'intorno del punto  $(0, 0)$ . Utilizzare le variabili  $m_1, m_2, m_3, \dots$  per rappresentare gli eventuali valori minimi e massimi "non noti" della funzione  $F(X)$ .

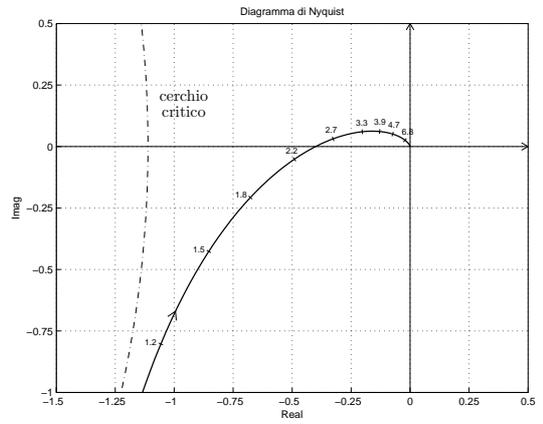
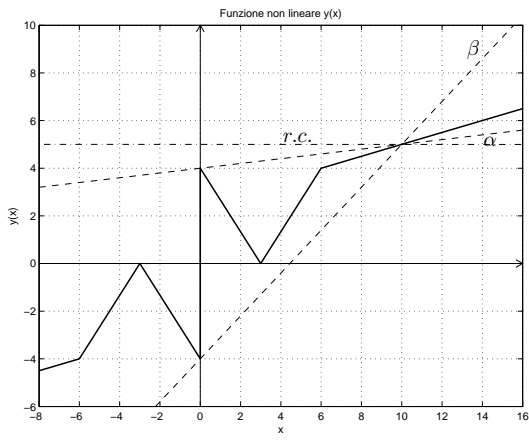


Figura 7: Diagramma di Nyquist della funzione  $G(s)$  e cerchio critico.

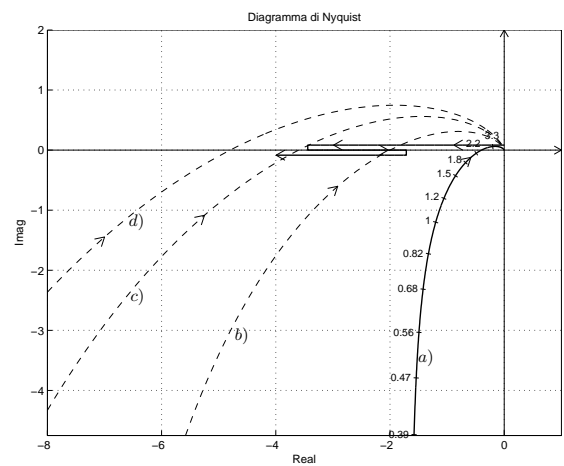
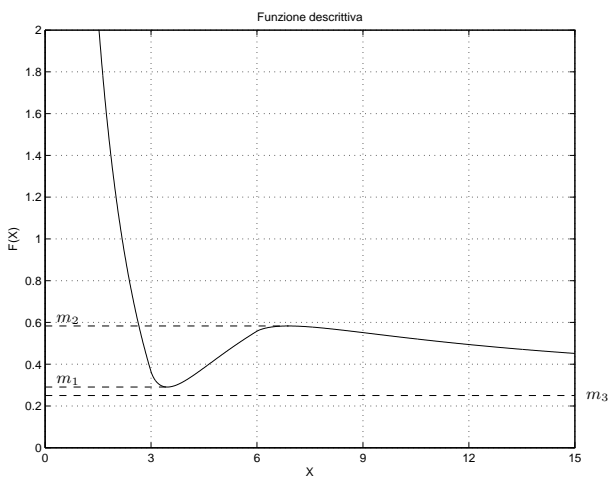


Figura 8: Andamento della funzione descrittiva  $F(X)$ .

*Sol.* L'andamento qualitativo della funzione descrittiva  $F(X)$  è mostrato in Fig. 8. Indichiamo: a) con  $m_1$  il valore minimo della funzione  $F(X)$  per  $X \simeq 3$ ; b) con  $m_2$  il valore massimo della funzione  $F(X)$  per  $X \simeq 6$ ; c) con  $m_3 = \frac{1}{4} = 0.25$  il valore finale a cui tende la funzione  $F(X)$  per  $X \rightarrow \infty$ . Il valore  $m_2$  può essere calcolato esattamente solo conoscendo con precisione la funzione  $F(X)$ . Il primo tratto della funzione descrittiva coincide con la funzione  $F(X)$  di un relè ideale sommato ad una pendenza negativa:

$$F(X) = \frac{16}{\pi X} - \frac{4}{3}$$

- c.4) Discutere “qualitativamente”, anche in funzione dei parametri  $m_1, m_2, m_3, \dots$ , l'esistenza o meno di cicli limite nel sistema retroazionato al variare del guadagno  $K > 0$ .

*Sol.* Per  $K = 1$ , il margine di ampiezza  $K_1^*$  del sistema  $G_1(s)$  è  $K_1^* = 2.5$ . Per  $K \neq 1$ , il margine di ampiezza  $K^*$  del sistema  $K G_1(s)$  è  $K^* = \frac{K_1^*}{K} = \frac{2.5}{K}$ . Al variare di  $K^*$  si possono avere le seguenti condizioni di funzionamento:

a) Per  $K^* > m_2$  il diagramma di Nyquist della  $G(s)$  interseca la funzione  $-1/F(X)$  in un solo punto a cui corrisponde un ciclo limite stabile.

b) Per  $m_1 < K^* < m_2$ , il diagramma di Nyquist della  $G(s)$  interseca la funzione  $-1/F(X)$  in tre punti a cui corrispondono due cicli limiti stabili (il primo, il terzo) e uno instabile (il secondo).

c) Per  $m_3 < K^* < m_1$ , il diagramma di Nyquist della  $G(s)$  interseca la funzione  $-1/F(X)$  in un solo punto a cui corrisponde un ciclo limite stabile.

d) Per  $K^* < m_3$ , la funzione  $-1/F(X)$  è tutta interna al diagramma completo della funzione  $G(s)$  per cui non vi sono cicli limite e il sistema retroazionato è instabile.

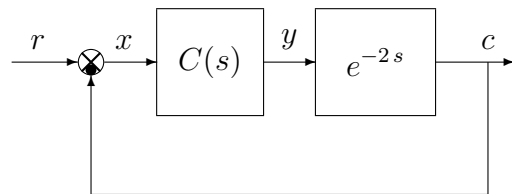
- c.5) Posto  $K = 1$ , calcolare l'ampiezza  $X^*$  e la pulsazione  $\omega^*$  del più piccolo ciclo limite stabile presente nel sistema retroazionato.

*Sol.* Posto  $K = 1$ , il margine di ampiezza  $K^*$  del sistema  $K G(s)$  è  $K^* = 2.5$ . Tale valore è maggiore di  $m_1$  per cui nel sistema retroazionato è presente un solo ciclo limite stabile di cui è possibile calcolare l'ampiezza  $X^*$  utilizzando la funzione  $F(X)$ :

$$F(X^*) = K^* \quad \rightarrow \quad \frac{16}{\pi X} - \frac{4}{3} = 2.5 \quad \rightarrow \quad X^* = \frac{96}{23\pi} = 1.3286.$$

La pulsazione  $\omega^*$  del ciclo limite coincide con quella del punto di intersezione della  $G(s)$  con il semiasse reale negativo  $\omega^* = \sqrt{6} = 2.46$ .

- d) Dato il sistema retroazionato riportato a fianco, progettare il regolatore  $C(s)$  in modo che il sistema retroazionato abbia un errore a regime nullo per ingresso a gradino e un margine di ampiezza  $M_a = 5$ . Calcolare inoltre la pulsazione  $\omega^*$ .



*Sol.* Per potere avere errore a regime nullo il regolatore  $C(s)$  deve essere di tipo integrale:

$$C(s) = \frac{K}{s}$$

Per  $K = 1$ , il margine di stabilità e la pulsazione critica del sistema sono:

$$K^* = \omega^* = \frac{\pi}{2t_0} = \frac{\pi}{4} = 0.7854.$$

Il valore di  $K$  necessario per imporre un margine di ampiezza  $M_a = 4$  al sistema compensato si ottiene nel modo seguente:

$$-\frac{K}{K^*} = -\frac{1}{M_a} \quad \rightarrow \quad K = \frac{K^*}{M_a} = \frac{\pi}{20} = 0.157$$

e) Utilizzando il metodo della corrispondenza poli-zeri, discretizzare la seguente rete correttiva

$$D(s) = \frac{M(s)}{E(s)} = \frac{(1 + 2s)}{s}$$

giungendo anche alla determinazione della corrispondente equazione alle differenze. Si utilizzi il periodo di campionamento  $T = 0.1$  e si imponga l'uguaglianza dei guadagni alle alte frequenze.

*Soluzione.* Utilizzando il metodo della corrispondenza poli-zeri si ottiene:

$$D(z) = K \frac{(1 - e^{-0.5T} z^{-1})}{(1 - z^{-1})} = K \frac{(1 - e^{-0.05} z^{-1})}{(1 - z^{-1})} = K \frac{(1 - 0.9512 z^{-1})}{(1 - z^{-1})}$$

Il valore di  $K$  si determina imponendo l'uguaglianza dei guadagni alle alte frequenze:

$$\lim_{s \rightarrow \infty} D(s) = \lim_{z \rightarrow -1} D(z) \quad \rightarrow \quad 2 = K \frac{1.9512}{2} \quad \rightarrow \quad K = \frac{4}{1.9512} = 2.05$$

Sostituendo in  $D(z)$  si ottiene:

$$D(z) = \frac{M(z)}{E(z)} = 2.05 \frac{(1 - 0.9512 z^{-1})}{(1 - z^{-1})} = \frac{2.05 - 1.95 z^{-1}}{(1 - z^{-1})}$$

La corrispondente equazione alle differenze assume la forma seguente:

$$m(k) = m(k - 1) + 2.05 e(k) - 1.95 e(k - 1)].$$

f) Calcolare la risposta all'impulso unitario  $x(n) = (1, 0, 0, \dots)$  del seguente sistema dinamico discreto, partendo da condizioni iniziali nulle:

$$y(n + 2) - 0.4 y(n + 1) - 0.6 y(n) = 2 x(n + 1)$$

*Sol.* Utilizzando le Z-trasformate si ottiene:

$$Y(z) = \frac{2z}{z^2 - 0.4z - 0.6} X(z) = \frac{2z}{(z - 1)(z + 0.6)}$$

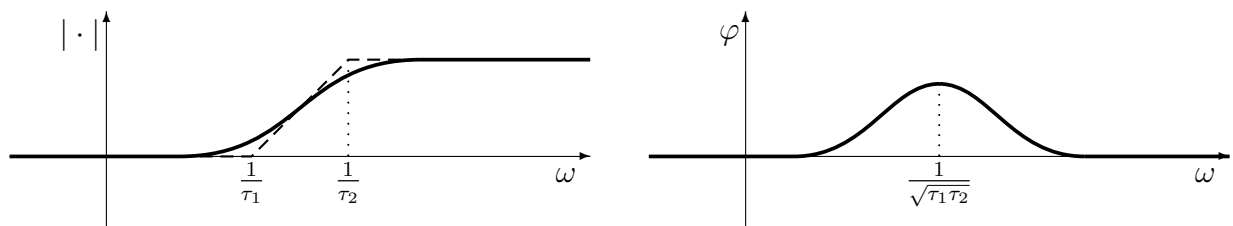
Scomponendo in fratti semplici si ottiene:

$$Y(z) = z \left[ \frac{1.25}{z - 1} - \frac{1.25}{z + 0.6} \right]$$

Antitrasformando si ottiene:

$$y(n) = 1.25 [1 - (-0.6)^n]$$

g) Tracciare qualitativamente i diagrammi di bode dei moduli e delle fasi di una rete anticipatrice  $C(s) = \frac{(1 + \tau_1 s)}{(1 + \tau_2 s)}$  con  $\tau_1 > \tau_2$ :



**Controlli Automatici B**  
**27 Giugno 2014 - Domande Teoriche**

Nome:	
Nr. Mat.	
Firma:	

Rispondere alle domande e ai test che seguono. Per ciascuno dei test segnare con una crocetta le affermazioni che si ritengono giuste. La risposta al test è considerata corretta solo se tutte le affermazioni corrette sono state contrassegnate.

1. Posto  $T = 0.5$  e utilizzando la corrispondenza tra piano- $s$  e piano- $z$ , calcolare il tempo di assestamento  $T_a$  della risposta impulsiva  $g(k)$  del sistema discreto  $G(z) = \frac{z}{z-0.8}$ :

$$T_a = \frac{3}{|\frac{1}{T} \ln(p)|} = \frac{3}{|\frac{1}{0.5} \ln(0.8)|} = 6.72 \text{ s.}$$

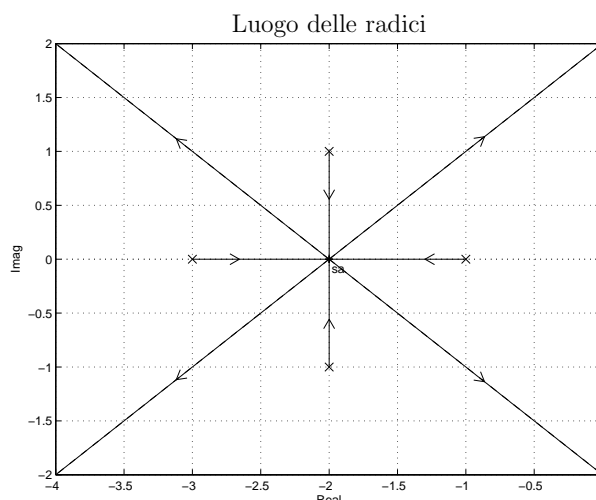
2. a) Sulla figura riportata a fianco, disegnare il luogo delle radici per  $K > 0$  del seguente sistema

$$G(s) = \frac{1}{(s+3)[(s+2)^2+1](s+1)}$$

caratterizzato dai 4 poli indicati in figura con delle crocette. Nella graficazione tenere conto del fatto che in  $(-2, 0)$  è presente un punto di diramazione di ordine 4.

- b) Calcolare per quale valore di  $K$  tutti i poli del sistema retroazionato si trovano in  $(-2, 0)$ :

$$K_d = \frac{1}{G(s)} \Big|_{s=-2} = 1$$



3. Calcolare il valore iniziale  $y_0 = \lim_{k \rightarrow 0} y(k)$  e il valore finale  $y_\infty = \lim_{k \rightarrow \infty} y(k)$  del segnale  $y(k)$  corrispondente alla seguente funzione  $Y(z)$ :

$$Y(z) = \frac{z^{-1}(1+3z^{-1})}{(1-z^{-1})(2+z^{-1})} \quad \rightarrow \quad y_0 = 0, \quad y_\infty = \frac{4}{3}$$

4. Il metodo di Ziegler-Nichols per determinare i valori di primo tentativo dei parametri di un regolatore standard PID

- richiede la conoscenza esatta del modello del sistema da controllare
- richiede la conoscenza della risposta impulsiva del sistema da controllare
- richiede la conoscenza della risposta al gradino del sistema da controllare
- è applicabile in modo approssimato anche al controllo di sistemi non lineari

5. Sia  $X(z) = \mathcal{Z}[x(k)]$  la  $\mathcal{Z}$ -trasformata della successione  $x(k)$ . Per  $n = 1, 2, \dots$ , enunciare il teorema della traslazione nel tempo nei 2 casi a) ritardo, e b) anticipo:

a)  $\mathcal{Z}[x(t - nT)] = z^{-n} X(z)$

b)  $\mathcal{Z}[x(t + nT)] = z^n [X(z) - \sum_{k=0}^{n-1} x(kT)z^{-k}]$

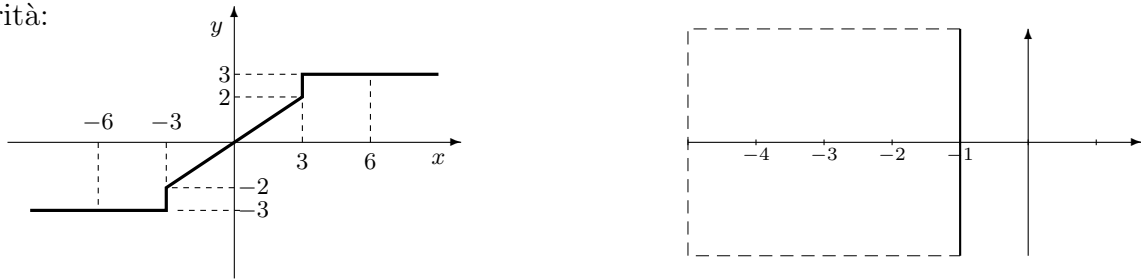
6. Indicare quale dei seguenti sistemi discreti  $G(z)$  ha la risposta impulsiva  $g(k)$  che tende a zero più rapidamente:

- $G(z) = \frac{1}{z^2(z-0.7)}$       $G(z) = \frac{1}{z^2(z+0.4)}$       $G(z) = \frac{1}{z(z+1)}$       $G(z) = \frac{1}{z(z^2+0.1)}$

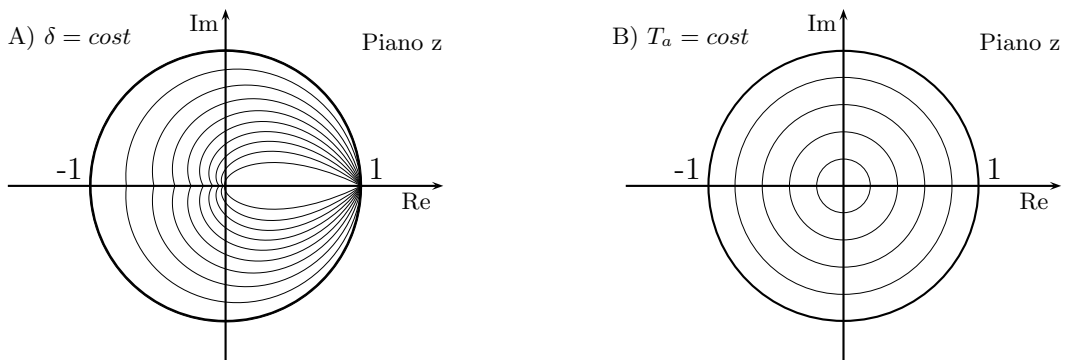
7. Tipicamente, quali delle seguenti reti correttive è bene utilizzare se si vuole stabilizzare in retroazione un sistema caratterizzato da un margine di fase fortemente negativo?

- una rete anticipatrice;                       un regolatore PD;  
 una rete ritardatrice;                       un regolatore PI;

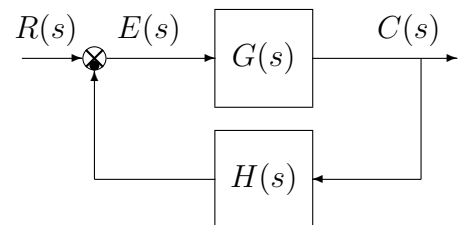
8. Sia  $(0, 0)$  il punto di lavoro. Disegnare il cerchio critico corrispondente alle seguente non linearità:



9. Tracciare qualitativamente sul piano  $z$ : A) i luoghi a coefficiente di smorzamento  $\delta$  costante; B) i luoghi a decadimento esponenziale costante:

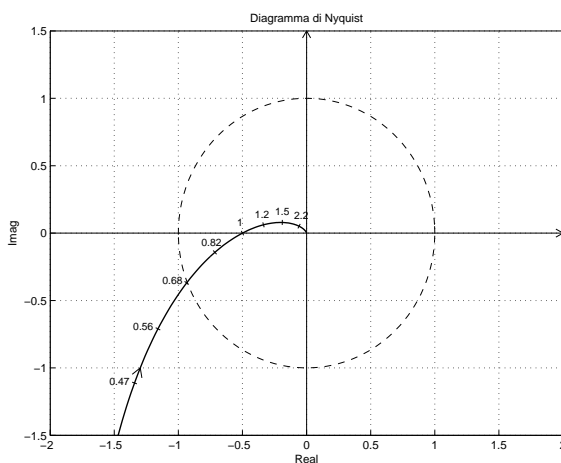


10. Si consideri il sistema retroazionato riportato di fianco. Scrivere il legame che lega la variazione relativa del sistema  $G(s)$  alla variazione relativa del sistema retroazionato  $G_0(s)$  quando varia un parametro  $\alpha$  interno alla funzione di trasferimento  $G(s)$ :



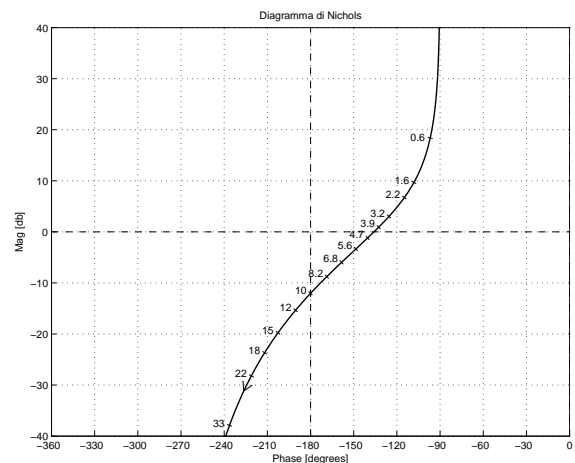
$$\frac{\Delta G_0(s)}{G_0(s)} = \frac{1}{1 + G(s)H(s)} \frac{\Delta G(s)}{G(s)}$$

11. Fornire una stima della larghezza di banda  $\omega_{f0}$  e del tempo di salita  $t_r$  dei due sistemi retroazionati corrispondenti ai seguenti sistemi  $G_1(s)$  e  $G_2(s)$ :



$$\omega_{f0,1} \simeq 0.68$$

$$t_{r1} \simeq 1.47$$



$$\omega_{f0,2} \simeq 4.2$$

$$t_{r2} \simeq 0.24$$